

Mean Intensity [ $10^{-4}$  ph cm $^{-2}$ s $^{-1}$ rad $^{-1}$ keV $^{-1}$ ]

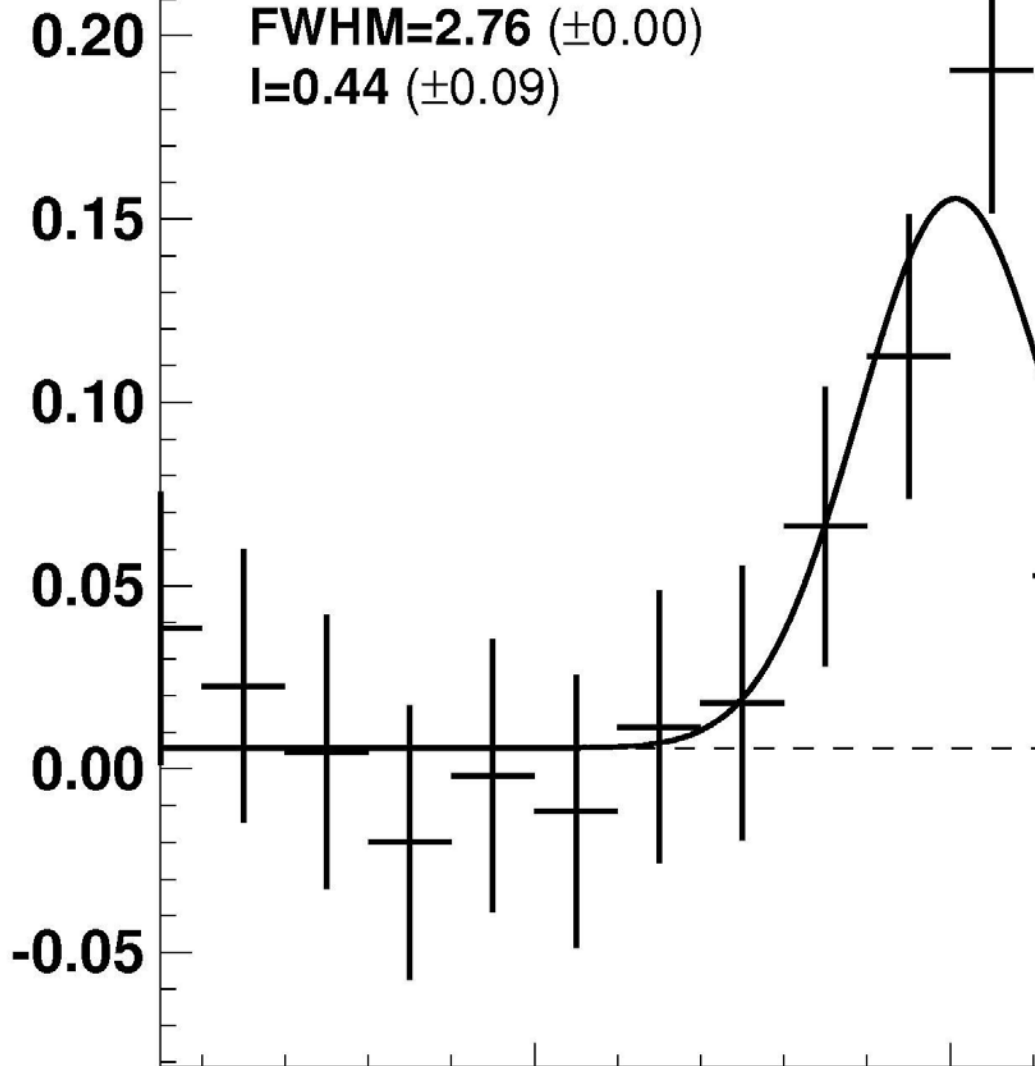
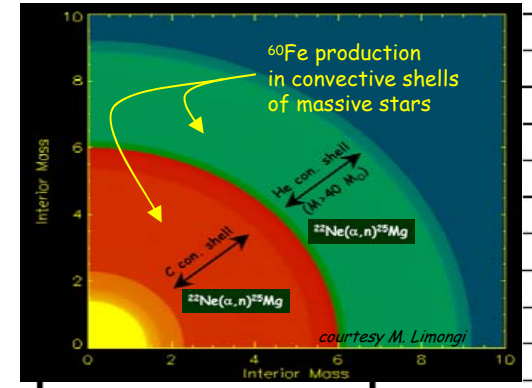
W.Wang et al. , A&A (2007)

$E=0.07 (\pm 0.30)$   
 $FWHM=2.76 (\pm 0.00)$   
 $I=0.44 (\pm 0.09)$

0.20  
0.15  
0.10  
0.05  
0.00  
-0.05

-5 0 5  
Energy offset from  $^{60}\text{Fe}$  line [keV]

Co55 17.53 h 7/2- EC	Co56 77.27 d 4+ EC	Co57 271.79 d 7/2- EC	Co58 70.82 d 2+ EC	Co59 7/2- 100	Co60 5.2714 y 5+ EC	Co61 1.650 h 7/2- EC	Co62 1.50 m 2+ EC	Co63 27.4 s (7/2)- EC
Fe54 0+ 5.8 EC	Fe55 2.73 y 3/2- EC	Fe56 0+ 91.72 100	Fe57 2+ 2.2 EC	Fe58 0.28 EC	Fe59 44.503 s 3+ EC	Fe60 1.5E+6 y 4.6 s 3/2- EC	Fe61 5.98 m 6/2- EC	Fe62 68 s 0+ EC
Mn53 3.74E+6 y 7/2- EC	Mn54 312.3 d 3+ EC, $\beta$	Mn55 5/2- 100	Mn56 2.5785 h 3+ EC	Mn57 85.4 s 5/2- EC	Mn58 3.0 s 0+ EC	Mn59 3.4E+5 y 3/2- EC	Mn60 51 s 0+ EC	Mn61 0.71 s (5/2)- EC



Mean Intensity [ $10^{-4}$  ph cm $^{-2}$  s $^{-1}$  rad $^{-1}$  keV $^{-1}$ ]

W.Wang et al. , A&A (2007)

$E=0.07 (\pm 0.30)$

$FWHM=2.76 (\pm 0.00)$

$I=0.44 (\pm 0.09)$

0.20  
0.15  
0.10  
0.05  
0.00  
-0.05

-5 0 5  
Energy offset from  $^{60}\text{Fe}$  line [keV]

Co57 271.79 d 7/2- EC	Co58 70.82 d 2+ EC *	Co59 7/2- 100	Co60 5.2714 y 5+ *	Co61 1.650 h 7/2- $\beta^-$	Co62 1.50 m 2+ $\beta^-$ *
Fe56 0+ 91.72	Fe57 2+ 2.2	Fe58 0+ 0.28	Fe59 44.503 d 3/2- $\beta^-$	Fe60 1.5E+6 y 0+ $\beta^-$	Fe61 5.98 m 2/2, 5/2- $\beta^-$
Mn55 5/2- 100	Mn56 2.5785 h 3+ $\beta^-$	Mn57 85.4 s 5/2- $\beta^-$	Mn58 3.0 s 0+ $\beta^-$ *	Mn59 4.6 s 3/2-, 5/2- $\beta^-$	Mn60 51 s 0+ $\beta^-$ *

